

УДК 535.215.4/6 : 548.1.021

**ОПТИЧЕСКАЯ ПЕРЕЗАРЯДКА ГЛУБОКИХ ПРИМЕСНЫХ СОСТОЯНИЙ
В ЗАПРЕЩЕННОЙ ЗОНЕ МОНОКРИСТАЛЛОВ
СО СТРУКТУРОЙ СИЛЛЕНИТА**

Н. И. Кацаев, И. Е. Кудрик, Е. И. Леонов

Путем анализа кривых релаксации фототока в структуре металл—диэлектрик—силленит—диэлектрик—металл исследованы процессы оптической перезарядки глубоких примесных состояний (ГПС) в запрещенной зоне нелегированных и легированных монокристаллов со структурой силленита. В приближении двухуровневой энергетической модели рассчитаны характеристики ГПС: концентрации, сечения фотоионизации их светом из сине-зеленой и красной областей спектра, а также сечения захвата ими свободного электрона.

В ряде работ [1–4], посвященных исследованию фотоэлектрических (ФЭ) свойств высокоомных фотопроводящих монокристаллов со структурой силленита (силленитов) $\text{Bi}_{12}\text{GeO}_{20}$ и $\text{Bi}_{12}\text{SiO}_{20}$, отмечаются явления гашения и стимуляции фотопроводимости (ФП) излучением из красной и сине-зеленой областей спектра соответственно. Авторы этих работ объясняют явления гашения и стимуляции ФП изменением времени жизни неравновесных электронов в зоне проводимости, которое в свою очередь обусловлено процессами оптической перезарядки глубоких примесных состояний (ГПС) в запрещенной зоне таких кристаллов. Однако экспериментальные исследования этих процессов и расчет параметров ГПС традиционными для полупроводников методиками (возбуждение ФП и исследование релаксации фототока (ФТ) в структуре металл—полупроводник—металл) связаны с серьезными трудностями, поскольку в силленинатах наряду с объемными релаксациями ФП наблюдаются также релаксации ФТ, обусловленные инжекционными свойствами контактов [5, 6].

В настоящей работе с помощью методики, основанной на анализе кривых релаксации ФТ в структуре металл—диэлектрик—полупроводник—диэлектрик—металл (МДПДМ) [7], исключающей влияние приэлектродных явлений, проведены детальные исследования процессов оптической перезарядки ГПС в запрещенной зоне нелегированных и легированных силленитов. На основе экспериментальных результатов в приближении двухуровневой энергетической модели произведен расчет концентраций, сечений фотоионизации и захвата свободного электрона ГПС.

Методика проведения измерений

Эксперименты проводились при комнатной температуре на монокристаллических пластинах германата ($\text{Bi}_{12}\text{GeO}_{20}$) и силиката ($\text{Bi}_{12}\text{SiO}_{20}$) висмута, вырезанных перпендикулярно кристаллографическим направлениям (100) и (110) толщиной 1000 мкм. Легирование производилось добавлением окислов алюминия (Al_2O_3) или кальция (CaO) в шихту при выращивании кристаллов. В качестве диэлектриков использовалась слюда толщиной 30 мкм с напыленными на нее прозрачными электродами из In_2O_3 ;

Алгоритм проведения экспериментов по исследованию процессов оптической перезарядки ГПС включал в себя следующие процедуры.

1. Сначала проводилось экспонирование закороченной МДПДМ структуры светом из красной области спектра с $\lambda=6764 \text{ \AA}$ (криптоновый лазер) в течение промежутка времени, равного 120 с.

2. Затем с целью термического опустошения мелких примесных уровней, расположенных на глубине $E_i < 0.7$ эВ от дна зоны проводимости, структура выдерживалась в темноте в течение 60 с.

3. После этого вновь проводилось ее облучение светом, но уже из сине-зеленой области спектра ($\lambda=4762 \text{ \AA}$, аргоновый лазер) интенсивностью I_c в течение времени $t_{\text{возб}}$ (производилась перезарядка ГПС).

4. Далее подавалось постоянное электрическое напряжение, включался зондирующий свет, возбуждающий ФП, и производилась регистрация кривой релаксации ФТ. В качестве зондирующего света использовалось излучение лампы накаливания КГМ-100, прошедшее через монохроматор МДР-23 ($\lambda_1=700$, $\lambda_2=480$ нм), интенсивность которого была более чем на два порядка ниже интенсивности предварительного фотовозбуждения. Регистрация кривой релаксации ФТ осуществлялась многоканальным анализатором импульсов НТА-1024. С помощью микро-ЭВМ EMG-666/B по формуле [7]

$$\sigma = \frac{\epsilon_0 \epsilon}{2\tau} \left(2 + \frac{\epsilon_d L}{\epsilon d} \right)$$

(ϵ_0 — абсолютная диэлектрическая проницаемость; ϵ , L и ϵ_d , d — диэлектрические проницаемости и толщины кристалла и диэлектрического слоя соответственно; τ — характерное время релаксации ФТ; σ — удельная электропроводность) рассчитывалась абсолютная величина удельной электропроводности силленита на свету.

5. После обработки кривой релаксации ФТ указанные выше процедуры повторялись, причем время фотовозбуждения структуры светом из сине-зеленой области спектра $t_{\text{возб}}$ увеличивалось на Δt .

6. При выходе σ на стационарное значение предварительное экспонирование МДПДМ структуры производилось уже светом из сине-зеленой области спектра ($\lambda=4762 \text{ \AA}$), а перезарядка ГПС светом из красной области спектра интенсивностью I_k .

Для снятия спектральных зависимостей величины удельной электропроводности силленитов алгоритм проведения экспериментов несколько видоизменялся. Предварительное облучение МДПДМ структуры перед каждым измерением σ осуществлялось светом из сине-зеленой области спектра, а варьируемым параметром была длина волны зондирующего излучения λ .

В процессе проведения эксперимента работой электромеханических затворов и реле, а также синхронизацией функциональных элементов установки управлял программатор «Время—команда» ПВК 15×20 М, который обеспечивал стабильность длительности временных интервалов с точностью 1 %.

Экспериментальные результаты и их обсуждение

На спектральных зависимостях (рис. 1) удельной электропроводности моноцисталлов $\text{Bi}_{12}\text{GeO}_{20}$ (1) и $\text{Bi}_{12}\text{SiO}_{20}$ (2), кроме максимума в области края фундаментального поглощения, наблюдаются «плечо» в спектральной области $\lambda=440 \div 520$ нм и менее выраженный максимум в области $\lambda=700 \div 720$ нм, который исчезает после фотовозбуждения образца светом из красной области спектра, что согласуется с результатами работ [1, 4].

Кривые кинетики изменения удельной электропроводности моноцисталлов $\text{Bi}_{12}\text{GeO}_{20}$ на свету (как типичные для всех исследованных в настоящей работе силленитов) в спектральных областях $\lambda=480$ (а) и 700 нм (б) в зависимости от длительности их фотовозбуждения $t_{\text{возб}}$ показаны на рис. 2. Видно, что перезарядка ГПС светом из сине-зеленой области спектра приводит к увеличению ФП более чем на порядок во всем спектральном диапазоне его фоточувствительности (как в красной, так и в синей области спектра). Величина прироста ФП не зависит от интенсивности и длины волн излучения, осуществляющего перезарядку ГПС в спектральном диапазоне 450—520 нм (рис. 3). В свою очередь пе-

резарядка ГПС светом из красной области спектра после предварительного фотовозбуждения кристалла синим светом приводит к неэкспоненциальному гашению ФП во всей области спектра фоточувствительности кристалла. Стимулирование и гашение ФП в диапазоне интенсивностей 10^{-5} — 10^{-1} Вт/см² удовлетворяет закону взаимозаместимости, т. е. зависит только от экспозиции предварительного фотовозбуждения, равной $I_{c,k} t_{\text{воз}}$.

Эти результаты могут быть объяснены в рамках двухуровневой энергетической модели (рис. 4) состоящей из энергетических состояний, расположенных на глубине 2.6—2.8 эВ (уровни *A*) и 1.8 эВ (уровни *B*) от дна зоны проводимости. Положение этих уровней в запрещенной зоне определено из вида спектров возбуждения ФП (рис. 1). В состоянии термодинамического равновесия уровни *A* заполнены электронами, уровни *B* опустошены, о чем свидетельствует тот факт, что нагрев образцов до температуры 750 К, также как и подсветка красным светом, приводит к уменьшению их фоточувствительности в красной области спектра ($\lambda > 600$ нм) на два порядка. Напротив, возбуждение образцов светом из синей области спектра приводит к заполнению электронами уровней *B*, и, как следствие, к увеличению ФП силленитов во всем спектральном диапазоне их фоточувствительности.

Рассмотрим кинетику оптической перезарядки ГПС типа *A* и *B*, приводящую к этим эффектам.

Для двухуровневой энергетической модели и монополярной электронной проводимости переходный процесс установления генерационно-рекомбинационного равновесия описывается следующими кинетическими уравнениями:

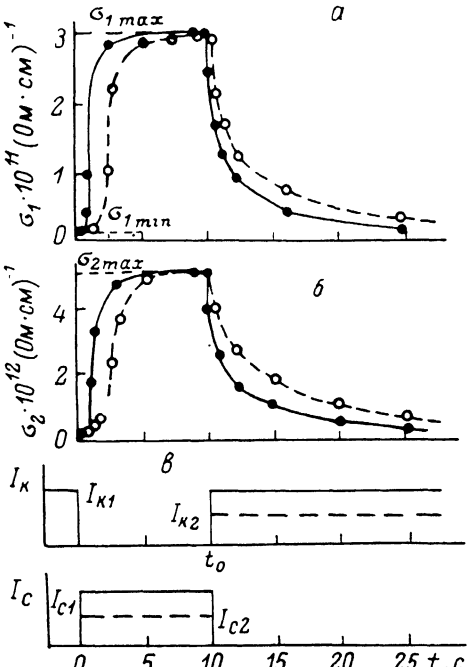
$$dn/dt = k_1(N_1 - p_1) + k_2 n_2 - \beta n \times (N_2 - n_2) - \alpha n p_1, \quad (1)$$

$$dn_2/dt = -k_2 n_2 + \beta n (N_2 - n_2), \quad (2)$$

$$dp_1/dt = k_1(N_1 - p_1) - \alpha n p_1, \quad (3)$$

$$p_1 = n_2 + n, \quad (4)$$

где n , n_2 — концентрации электронов в зоне проводимости и на уровнях *B*; p_1 — концентрация дырок на уровнях *A*; N_1 , N_2 — концентрации уровней *A* и *B*; α_1 , β — вероятности захвата электронов на уровнях *A* и *B*; k_1 , k_2 — ве-



роятности выброса электрона в зону проводимости с уровнями *A* и *B* соответственно.

Система уравнений (1)–(4) не имеет аналитического решения. Однако в [8] было предложено ее решение в квазистационарном приближении, когда

$$n \ll n_2, \quad dn/dt \ll dn_2/dt. \quad (5)$$

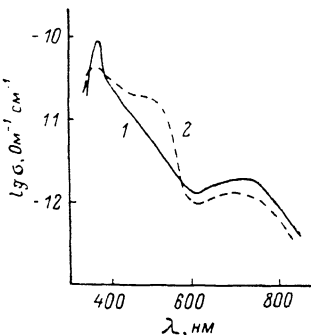


Рис. 1.

Рис. 2. Временные зависимости ФП монокристаллов $\text{Bi}_{12}\text{GeO}_{20}$ при возбуждении светом с $\lambda = 480$ нм, $I = 1.2 \cdot 10^{-5}$ Вт/см² (а) и $\lambda = 700$ нм, $I = 1.3 \cdot 10^{-4}$ Вт/см² (б) и подсветке синим ($\lambda = 476.2$ нм) и красным ($\lambda = 676.4$ нм) светом с интенсивностью $I_{c1} = 2I_{c2} = 2 \cdot 10^{-4}$, $I_{k1} = 2I_{k2} = 4 \cdot 10^{-4}$ Вт/см² (с).

При этом необходимым и достаточным условием решения системы (1)–(4) в таком приближении является выполнение закона взаимозаместимости, что представляется правомерным по отношению к процессам перезарядки ГПС в запрещенной зоне силленитов в исследованном диапазоне интенсивностей фотовозбуждения.

Решение системы (1)–(4) в случае фотовозбуждения силленитов коротковолновым светом с $\lambda=450 \div 520$ нм ($k_1 \neq 0$, $k_2 \neq 0$, $p_1(0)=n_2(0)=0$) имеет вид [9]

$$\frac{(M_2 - n_2)^{b/a}}{M_1 - n_2} = \frac{(M_2)^{b/a}}{M_1} \exp\left(-\frac{k_1\gamma - k_2}{a} t\right), \quad (6)$$

$$M_{1,2} = \frac{k_1\gamma(N_1 + N_2) \pm \sqrt{k_1^2\gamma(N_1 + N_2)^2 - 4k_1\gamma N_1 N_2(k_1\gamma - k_2)}}{2(k_1\gamma - k_2)},$$

где

$$a = \frac{\gamma N_2 + M_1(1-\gamma)}{M_1 - M_2}, \quad b = \frac{\gamma N_2 + M_2(1-\gamma)}{M_1 - M_2}, \quad \gamma = \frac{\beta}{\alpha}.$$

Видно, что это решение описывает эффект насыщения, причем концентрация электронов в насыщении на уровнях B (M_2) в общем случае не равна концентра-

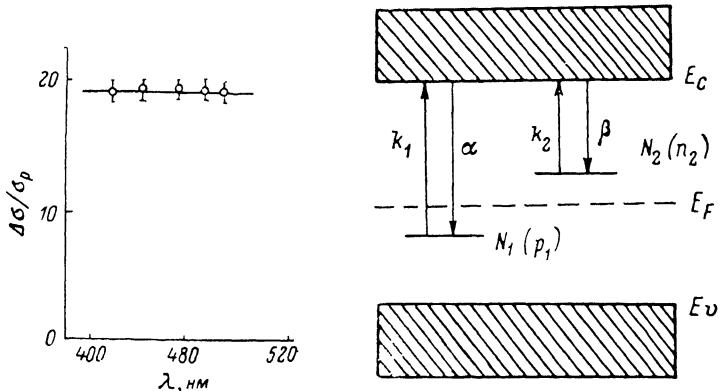


Рис. 3. Зависимость прироста ФП при возбуждении светом с $\lambda=700$ нм от длины волны подсветки монокристаллов $\text{Bi}_{12}\text{GeO}_{20}$.

Рис. 4. Двухуровневая энергетическая модель.

ции этих уровней (N_2) и определяется концентрацией ГПС, а также отношением их сечений фотоионизации и захвата свободных электронов. Очевидно, что отношение сечений фотоионизации ГПС типа A и B должно зависеть от энергии кванта света. Однако, как оказалось, прирост величины удельной электропроводности на свету, а следовательно, и заселенность уровня B в насыщении не зависит от длины волны света, производящего перезарядку ГПС в диапазоне $\lambda=450 \div 520$ нм (рис. 3). Это может иметь место только если $N_1 \gg N_2$ либо $k_1 \gg k_2$. В любом из этих случаев концентрация электронов на уровнях B в насыщении равна концентрации этих уровней ($M_2=N_2$), т. е. фотовозбуждение силленитов светом из сине-зеленой области спектра независимо от длины волны приводит к полному заполнению уровня B электронами.

При фотовозбуждении силленитов светом из красной области спектра ($k_1=0$, $k_2 \neq 0$, $n_2(t_0)=N_2$) концентрация электронов на уровнях B неэкспоненциально уменьшается до нуля [9], согласно выражению

$$k_2 t = (1 - \gamma) \ln \frac{N_2}{N_1} + \gamma N_2 \left(\frac{1}{n_2} - \frac{1}{N_2} \right). \quad (7)$$

Кроме того, следует заметить, что в процессе оптической перезарядки ГПС концентрация электронов на уровнях A остается практически постоянной, поскольку из вида спектров возбуждения ФП (рис. 1) можно сделать вывод,

что концентрация уровней типа A намного превышает концентрацию уровней типа B ($N_1 \gg N_2$).

Исходя из этих положений, на основании общего выражения для концентрации электронов в зоне проводимости в квазистационарном приближении

$$n = (k_2 n_2 + k_1 (N_1 - n_2)) / (\alpha n_2 + \beta (N_2 - n_2)) \quad (8)$$

можно определить эту величину при возбуждении ФП светом из красной области в насыщении после фотовозбуждения образца светом из сине-зеленой области спектра

$$n = k_2 / \alpha, \quad (9)$$

В пренебрежении тепловой генерацией электронов с уровнем B при комнатной температуре

$$n = \gamma_2 I_2 / \alpha, \quad (10)$$

где γ_2 — сечение фотоионизации уровня B ; I_2 — интенсивность возбуждения ФП красным светом.

Поскольку концентрация электронов в монополярном полупроводнике связана с величиной удельной электропроводности выражением $\sigma = qn\mu$ (где q — заряд электрона, μ — его дрейфовая подвижность), а $\alpha = S_1 v_T$ (где S_1 — сечение захвата электрона уровнем A , v_T — тепловая скорость электрона в зоне проводимости), то сечение захвата электрона уровнем A будет определяться выражением

$$S_1 = \gamma_2 I_2 q \mu / \sigma_{2\max} v_T. \quad (11)$$

С другой стороны, концентрация электронов в зоне проводимости при возбуждении ФП при тех же условиях светом из синей области спектра ($\lambda = 480$ нм) определяется выражением

$$n = \gamma_1 I_1 N_1 / S_1 v_T N_2, \quad (12)$$

откуда

$$S_1 = \frac{\gamma_1 I_1 q \mu}{\sigma_{1\max} v_T} \frac{N_1}{N_2}. \quad (13)$$

Приравнивая правые части выражений (11) и (13), можно вычислить концентрацию электронов на уровнях A (γ_1 , γ_2 и N_2 измерены по методике, описанной в [10])

$$N_1 = \frac{\sigma_{1\max}}{\sigma_{2\max}} \frac{\gamma_2 I_2}{\gamma_1 I_1} N_2. \quad (14)$$

В свою очередь из выражения (11) или (13), зная $V_T = 10^5$ см/с [11], можно определить сечение захвата электрона уровнем A . Аналогично концентрация электронов в зоне проводимости при возбуждении ФП светом с $\lambda = 480$ нм после фотовозбуждения образца светом из красной области спектра

$$n = k_1 N_1 / \beta N_2. \quad (15)$$

Отсюда, зная все остальные величины, можно определить сечение захвата электрона уровнем B

$$S_2 = \frac{\gamma_1 I_1 q \mu}{\sigma_{1\min} v_T} \frac{N_1}{N_2}. \quad (16)$$

В таблице приведены результаты расчета микропараметров ГПС для $\text{Bi}_{12}\text{GeO}_{20}$, $\text{Bi}_{12}\text{SiO}_{20}$ и $\text{Bi}_{12}\text{GeO}_{20}$, легированного Ca и Al, а также величины коэффициентов оптического поглощения для длин волн $\lambda = 6764$ и 4762 Å, определенные из выражения

$$\alpha(\lambda) = \gamma_i(\lambda) N_i.$$

Из этой таблицы видно, что сечения фотоионизации ГПС типа A квантами синего света в кристаллах $\text{Bi}_{12}\text{GeO}_{20}$ и $\text{Bi}_{12}\text{SiO}_{20}$ близки по величине и практи-

	$N_1 \cdot 10^{-18}$ см $^{-3}$	$N_2 \cdot 10^{-16}$ см $^{-3}$	$\gamma_1 \cdot 10^{18}$ см 2	$\gamma_2 \cdot 10^{18}$ см 2	$S_1 \cdot 10^{17}$ см 2	$S_2 \cdot 10^{16}$ см 2	$\alpha(4762 \text{ \AA})$ см $^{-1}$	$\alpha_{\text{экв}}(4762 \text{ \AA})$ см $^{-1}$	$\alpha(6764 \text{ \AA})$ см $^{-1}$
Bi ₁₂ GeO ₂₀	4.0	1.2	0.9	4.5	1.3	2.7	3.6	4	0.05
Bi ₁₂ SiO ₂₀	6.0	1.2	1.0	5.5	2.0	4.8	6.0	6	0.06
Bi ₁₂ GeO ₂₀ : Ca (0.1 вес. %)	2.6	1.2	1.2	5.0	1.4	2.6	3.1	2	0.06
Bi ₁₂ GeO ₂₀ : Al (0.1 вес. %)	2.8	18.0	0.9	5.0	1.1	1.1	2.5	2	0.90

чески не зависят от легирующих примесей, а их концентрация несколько ниже результатов рентгенографических исследований концентрации вакансий тяжелого элемента (Ge, Si) в кристаллической решетке [12], обычно связываемых с примесным поглощением света в сине-зеленой области спектра. По-видимому, это объясняется частичной компенсацией ГПС типа *A* акцепторными уровнями, расположенными ближе к потолку валентной зоны и косвенно подтверждается тем, что введение акцепторных уровней посредством легирования Al или Ca уменьшает концентрацию ГПС типа *A*, заполненных электронами (см. таблицу).

Хорошее согласие рассчитанной величины коэффициента оптического поглощения света в сине-зеленой области спектра с экспериментально измеренной является дополнительным подтверждением достоверности использованной методики измерения и расчета характеристик ГПС в силленинатах.

Концентрации ГПС типа *B* в кристаллах Bi₁₂GeO₂₀ и Bi₁₂SiO₂₀ также близки по величине. Существенно увеличить концентрацию таких состояний можно посредством легирования алюминием, что в свою очередь приводит к возрастанию коэффициента поглощения света такими кристаллами в красной области спектра. Легирование Ca, уменьшая концентрацию ГПС типа *A*, заполненных электронами, практически не влияет на концентрацию ГПС типа *B*.

Таким образом, можно 1. Посредством анализа релаксационных процессов удельной электропроводности силленинов на свету при оптической перезарядке ГПС в запрещенной зоне таких кристаллов определены концентрации ГПС и их характеристики.

2. Показана принципиальная возможность целенаправленного управления посредством легирования концентрацией ГПС в запрещенной зоне таких кристаллов, а следовательно, видом спектральных характеристик оптического поглощения и ФП.

В заключение авторы выражают глубокую благодарность В. М. Орлову за предоставленные кристаллы.

Литература

- [1] Douglas G. G., Litter R. N. IEEE Trans. Sonics and Ultrasonics, 1967, v. SU-14, p. 252—256.
- [2] Волосов А. Я., Костюк В. Х., Кудзин А. Ю. ФТТ, 1981, т. 23, № 7, с. 2187—2189.
- [3] Камшилин А. А., Петров М. П. ФТТ, 1981, т. 23, № 10, с. 3110—3116.
- [4] Губаев О. Л., Гусев В. А., Деменко С. И. Автометрия, 1983, № 1, с. 44—50.
- [5] Кацацев Н. И., Леонов Е. И., Шадрин Е. Б. Щербаков А. Г. ЖТФ, 1984, т. 54, № 3, с. 589—594.
- [6] Брыксин В. В., Коровин Л. И., Марафонов В. И., Хоменко А. В. Письма в ЖТФ, 1983, т. 9, № 7, с. 385—390.
- [7] Константинов О. В., Мезрин О. А., Кацацев Н. И., Леонов Е. И. ФТТ, 1983, т. 25, № 12, с. 3648—3654.
- [8] Адиоров Э. И. Некоторые вопросы теории люминесценции кристаллов. М.: Гостехиздат, 1951, с. 255.
- [9] Фридкин В. М. Физические основы электрофотографического процесса. Л.: Энергия, 1966, с. 288.
- [10] Кацацев Н. И., Кудрик И. Е., Леонов Е. И. ЖТФ, 1985, т. 55, № 12, с. 2372—2376.
- [11] Lauer R. B. J. Appl. Phys., 1974, N 4, p. 1794—1797.
- [12] Abrahams S. A., Jamieson R. B., Bernstein I. L. J. Cryst. Growth, 1967, N 1, p. 37—40.